

อกนพดลกสตร์ของกระบวนการการการเกิดพอดิมอร์แบบใหม่

นางสาวเพชรรัตน์ โพธิพิณย์



สถาบันวิทยบริการ
อุดมศึกษาแห่งวิทยาลัย
วิทยานิพนธ์นี้เป็นส่วนหนึ่งของการศึกษาความหลากหลาย
ภาควิชาสุศาสตร์
บัณฑิตวิทยาลัย จุฬาลงกรณ์มหาวิทยาลัย
ปีการศึกษา 2539

ISBN 974-635-001-3

ลิขสิทธิ์ของบัณฑิตวิทยาลัย จุฬาลงกรณ์มหาวิทยาลัย

KINETICS OF FOAMED POLYMERIZATION PROCESS

Miss Petcharat Potipin

A Thesis Submitted in Partial Fulfillment of the Requirements

for the Degree of Master of Science

Department of Materials Science

Graduate School

Chulalongkorn University

Academic Year 1996

ISBN 974-635-001-3

Thesis Title Kinetics of Foamed Polymerization Process

By Miss Petcharat Potipin

Department Materials Science

Thesis Advisor Associate Professor Saowaroj Chuayjuljit, M.S.

Accepted by the Graduate School, Chulalongkorn University in
Partial Fulfillment of the Requirement for the Master's Degree/

Santi Thoongsuwan

..... Dean of Graduate School

(Professor Santi Thoongsuwan, Ph.D.)

Thesis Committee

Werasak Udomkitchdecha

..... Chairman

(Associate Professor Werasak Udomkitchdecha, Ph.D.)

S. Chuayjuljit

..... Thesis Advisor

(Associate Professor Saowaroj Chuayjuljit, M.S.)

Anucha Euapermkiati

..... Thesis Co-Advisor

(Anucha Euapermkiati, Ph.D.)

Paiparn Santisuk

..... Member

(Assistant Professor Paiparn Santisuk, M. Met.)

พิมพ์ดันดับนักคดีอวิทยานิพนธ์ภายในกรอบสีเขียวเพียงแผ่นเดียว

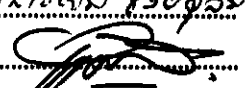
เทอร์คัน ไทรพิย์ : สถานที่การศึกษาของกระบวนการการเกิดโพลิเมอร์แบบไฟฟ์
(KINETICS OF FOAMED POLYMERIZATION PROCESS) อาจารย์ที่ปรึกษา :
รศ. เสาระน์ ชัยฤทธิ์, 109 หน้า. ISBN 974-635-001-3

เป็นครั้งแรกที่มีการศึกษาดูนทดสอบการศึกษาของกระบวนการเกิดโพลิเมอร์แบบไฟฟ์ของอะคริลามิด เริ่มต้นจากการศึกษาถังเคราะห์และการตรวจสอบการไฟฟ์แบบดิจิตอลแบบไฟฟ์แบบไฟฟ์ของอะคริลามิด ไม่ใช่ไฟฟ์ ไฟฟ์ที่เชิงเปลือกเปลือกเป็นตัวเริ่มปั๊กิริยาตัวควบคุมการกระบวนการการเกิดโพลิเมอร์แบบไฟฟ์ และได้ศึกษาการตัดสินใจของผู้ผลิตที่นำในภาคที่มีใช้เดินการบันทุณฑ์ในปั๊กิริยาและหน่วยน้ำหนักไม่เกิดขึ้นของเม็ดลดลง ระบบการเกิดโพลิเมอร์แบบไฟฟ์ของอะคริลามิด ไม่ใช่ไฟฟ์ ไฟฟ์ที่เชิงเปลือกเปลือกเป็นตัวเริ่มปั๊กิริยาทางให้ภาคที่อุณหภูมิคงที่ ถูกเลือกให้เป็นระบบที่ใช้ในการศึกษาดูนทดสอบการศึกษา ความผันผวนของอะคริลามิดอนอยู่ แต่ตัวเริ่มปั๊กิริยาไฟฟ์ที่เชิงเปลือกเปลือกอยู่ในช่วง 2.44 ± 3.66 มิตต่อตัว และ $1.22 \times 10^{-3} \pm 6.10 \times 10^{-3}$ มิตต่อตัว ตามลำดับ อุณหภูมิอยู่ในช่วง $70 - 90^{\circ}\text{C}$ ได้ประยุกต์เทคนิคไฟฟ์เพื่อเรนซิลล์แทนนิ่งคาดอร์เมอร์ใน การวัดค่าทางดูนทดสอบการศึกษา อัตราเริ่มต้นของปั๊กิริยาขึ้นกับความเข้มข้นของอนยองอยู่ที่ 1.21 และตัวเริ่มปั๊กิริยาขึ้นก้าว 0.5 สมการอัตราการเกิดปั๊กิริยาการเกิดโพลิเมอร์ (R_p) เท่ากับ $R_p = K [AM]^{1.21} [K_2S_2O_8]^{0.5}$ ใช้ค่าน้ำตาล ค่าคงที่อัตราเร็ว慢เฉลี่ยที่อุณหภูมิ 70°C มีค่าเท่ากับ 5.45×10^{-3} ลิตเตอร์ต่อ ไมด์-วินาที ค่าเหลืองงานกระถุงรูปมีค่าเท่ากับ 58.4 กิโลกรัมต่อไมด์

ได้ศึกษาผลการทดลองทางความร้อนต่อการเกิดโพลิเมอร์แบบไฟฟ์ของอะคริลามิด ภายใต้ภาคที่อุณหภูมิไม่คงที่ โดยในระหว่างการเกิดโพลิเมอร์นี้ อุณหภูมิของระบบถูกปล่อยให้สูงขึ้นเนื่องจากความร้อนที่ปลดปล่อยออกจากปั๊กิริยา อุณหภูมิที่สูงขึ้นจะนำไปสู่การเกิดปั๊กิริยาการเร่งตัวขึ้นในระบบ ขนาดการสังเคราะห์ที่ลดลงที่ต้องการเกิดปั๊กิริยาสูงขึ้นเรื่อยๆ ให้เกิดปั๊กิริยาการเร่งตัวขึ้นในระบบ ปั๊กิริยาการเร่งตัวขึ้นในระบบ ต้องการเกิดปั๊กิริยาการเกิดโพลิเมอร์และ การเปลี่ยนอนยองอยู่ในปั๊กิริยาแบบมีค่าสูงขึ้น

สถาบันวิทยบริการ
จุฬาลงกรณ์มหาวิทยาลัย

ภาควิชาวัสดุภาสทร์.....
สาขาวิชาวิทยาศาสตร์ของเมืองประเทศไทย.....
ปีการศึกษา .2539.....

ลายมือชื่อนิสิต / พญานิษฐ์ ไทรพิย์
ลายมือชื่ออาจารย์ที่ปรึกษา / ดร. ดร. ชัยฤทธิ์ ชัยฤทธิ์
ลายมือชื่ออาจารย์ที่ปรึกษาร่วม / 

C527119 : MAJOR APPLIED POLYMER SCIENCE AND TEXTILE TECHNOLOGY
KEY WORD: KINETICS/FOAMED POLYMERIZATION/AUTOACCELERATION/ACRYLAMIDE
PETCHARAT POTIPIN : KINETICS OF FOAMED POLYMERIZATION PROCESS.
THESIS ADVISOR : ASSO. PROF.SAOWAROJ CHUAYJULJIT, M.S. 109 pp.
ISBN 974-635-001-3

The kinetics of foamed polymerization of acrylamide were studied for the first time. These studies began with the synthesis and characterization of the starch-g-polyacrylamide and polyacrylamide homopolymer using potassium persulphate as initiator by the foamed polymerization process. The chain scission of the water soluble starch in the presence of alkali foaming agent, Na_2CO_3 , was found in that its molecular weight was reduced. The kinetics of foamed polymerization of acrylamide using potassium persulphate as initiator under the isothermal condition were studied. The acrylamide monomer and potassium persulphate initiator concentrations studied were ranged from 2.44 to 3.66 mol/L and from 1.22×10^{-3} to 6.10×10^{-3} mol/L, respectively. The studied temperature was ranged from 70 to 90°C. The differential scanning calorimetry (DSC) technique was used for the measurement of polymerization kinetics. The dependences of the initial rate of polymerization on monomer and initiator concentrations were found to be raised to 1.21 and 0.50 power, respectively. The rate of polymerization (R_p) is $R_p = K[\text{AM}]^{1.21}[\text{K}_2\text{S}_2\text{O}_8]^{0.5}$. The average overall rate constant at 70°C is 5.45×10^{-3} L/mol-s. The overall activation energy is 58.4 kJ/mol.

The thermal effect of the foamed polymerization of acrylamide under non-isothermal condition was studied. During the course of polymerization, the temperature of the system was allowed to rise exothermically and led to the occurrence of autoacceleration reaction in the system. It was also found that the larger scale of polymer synthesis, the increase in the reaction mass and the lower surface area/volume ratio of reactor enhanced the rise in temperature and autoacceleration reaction in the system. The autoacceleration reaction leads to the higher polymerization rate and the higher monomer conversion to polymer.

สถาบันวิทยบริการ จุฬาลงกรณ์มหาวิทยาลัย

ภาควิชา วัสดุศาสตร์
สาขาวิชา วิทยาศาสตร์พอลิเมอร์ประยุกต์ ๑
ปีการศึกษา ๒๕๓๙

อาจารย์ชื่อผู้จัด ดร. ดร. พิชัย พิชัย
อาจารย์ชื่ออาจารย์ที่ปรึกษา ดร. ดร. พิชัย พิชัย
อาจารย์ชื่ออาจารย์ที่ปรึกษาร่วม ดร. พิชัย พิชัย



ACKNOWLEDGEMENTS

The author wishes to express her sincere gratitude and appreciation to her advisor, Assoc. Prof. Saowaroj Chuayjuljit and to her co-advisor, Dr. Anucha Euapermkiati, for their invaluable guidance, and encouragement throughout the course of these studies.

The author also wishes to thank Assoc. Prof. Dr. Werasak Udomkichdecha, and Asst. Prof. Paiparn Santisuk for serving as chairperson and member of thesis committee, respectively.

The research grant supported by the National Metal and Materials Technology Centre (MTEC), the Graduate School, Chulalongkorn University, and the National Research Council of Thailand (NRCT) are greatly appreciated.

She wishes to express her sincere thanks to Dr. Saran Poshyachinda of MTEC and Dr. Nopporn Pramojanee of the Bank of Thailand for their advices on the polymerization kinetic studies and the kinetic analysis of polymerization by differential scanning calorimetry (DSC). Thanks are also extended to all of the officers at MTEC who offered their assistance during the course of research.

Finally, she would like to thank her grandparents for their patience, support and encouragement over the years of the studies. Special appreciation is going to her relatives and all of good friends for their love, sympathy and encouragement throughout the studies.

CONTENTS

	PAGE
ABSTRACT (IN THAI)	iv
ABSTRACT (IN ENGLISH)	v
ACKNOWLEDGEMENTS	vi
LIST OF TABLES	xi
LIST OF FIGURES	xii
NOMENCLATURE	xvi
CHAPTER	
I INTRODUCTION	
1.1 Introduction	1
1.2 Objectives	2
1.3 Expected Benefits Obtainable for Future Developments of the Research	2
1.4 Scope of the Investigation	2
II THEORY AND LITERATURE REVIEW	
2.1 Water Soluble Polymers	5
2.2 The Foamed Polymerization Process	14
2.2.1 Monomers.....	16
2.2.2 Backbone Polymers	17
2.2.3 Initiators	17
2.2.4 Foaming Agents and Viscosifiers.....	17

CHAPTER	PAGE
2.2.5 Chain Transfer Agents	18
2.2.6 Crosslinking Agents	18
2.3 Kinetics of Radical Chain Polymerization	21
2.3.1 Polymerization Mechanism	22
2.3.2 Rate of Polymerization	25
2.2.3 Autoacceleration.....	30
2.4 Literature Survey	33
III EXPERIMENTAL	
3.1 Chemicals, Equipments and Glasswares	
3.1.1 Chemicals	39
3.1.2 Equipments and Glasswares	40
3.2 Instruments	41
3.3 Experimental : Preliminary Studies	
3.3.1 Synthesis and Characterization of Starch-g-Polyacrylamide via the Foamed Polymerization Process	41
3.3.2 Study of Degradation of Starch Backbone in the Presence of Alkali Foaming Agent	44
3.3.3 Synthesis and Characterization of Polyacrylamide via the Foamed Polymerization Process	44
3.4 Studies of the Kinetics of Isothermal Foamed	

CHAPTER	PAGE
Polymerization of Acrylamide	
3.4.1 Initial Rate of the Foamed	
Polymerization.....	46
3.4.2 Initial Rate Dependency on Monomer	
Concentration	49
3.4.3 Initial Rate Dependency on Initiator	
Concentration	50
3.4.4 The Effect of Polymerization Temperature	
on Initial Rate	50
3.5 Study of Thermal Effects of the Foamed	
Polymerization of Acrylamide	
3.5.1 Temperature Profile during the Course of	
Polymerization in the Ampoule	51
3.5.2 Conversion Profile during the Course of	
Polymerization in Ampoules.....	52
3.5.3 The Effect of Reaction Scale for the Polymer	
Synthesis on Temperature Profile and	
Conversion Profile	53
3.5.4 The Effect of Surface Area /Volume Ratio	
of Ampoule on Temperature Profile	
and Conversion Profile.....	54
3.5.5 The Effect of Reaction Mass on Temperature	
Profile and Conversion Profile.....	54

CHAPTER	PAGE
IV RESULTS AND DISCUSSION	
4.1 Study of Chemical Structure of Starch-g-Polyacrylamide and the Basic Mechanism for Graft Copolymerization	56
4.2 Study of Degradation of Starch Backbone in the Presence of Alkaline Foaming Agent.....	59
4.3 Study of Chemical Structure of Polyacrylamide and the Basic Mechanism for Polymerization of Acrylamide.....	66
4.4 Kinetic Analysis of Isothermal Foamed Polymerization of Acrylamide	70
4.4.1 Initial Rate Dependency on Monomer Concentration	73
4.4.2 Initial Rate Dependency on Initiator Concentration	80
4.4.3 The Effect of Polymerization Temperature on Initial Rate	85
4.5 The Thermal Effects for the Foamed Polymerization of Acrylamide	89
4.6 The Effects of Reaction Scale ,Surface Area/Volume Ratio of Ampoules and Reaction Mass on Temperature Profile and Conversion Profile.....	93
V CONCLUSION AND SUGGESTION	
5.1 Conclusion	99
5.3 Suggestion	102
REFERENCES.....	104
VITA.....	109

LIST OF TABLES

TABLE	PAGE
2.1 Classification of water soluble polymers.....	11
2.2 Applications of water soluble polymers.....	12
3.1 Chemicals used.....	39
3.2 Foamed polymerization recipe I	42
3.3 Foamed polymerization recipe II	45
3.4 Foamed polymerization recipe III	55
4.1 Peak Assignments of IR spectrum of the starch-g- polyacrylamide.....	57
4.2 Appearance of products from the reaction of carbohydrates/ Na_2CO_3	60
4.3 Peak Assignments of IR spectrum of the water soluble starch and degradative starch.....	60
4.4 Peak Assignments of IR spectrum of polyacrylamide.....	68
4.5 Heat of polymerization and limiting acrylamide conversion in the foamed polymerization of acrylamide with variation of acrylamide concentration.....	75
4.6 Heat of polymerization and limiting acrylamide conversion in the foamed polymerization of acrylamide with variation of potassium persulphate concentration... .	81
4.7 Heat of polymerization and limiting acrylamide conversion in the foamed polymerization of acrylamide with variation of polymerization temperature	87
4.8 Reaction conditions, limiting acrylamide conversions and initial rates of polymerization of the non-isothermal foamed polymerization of acrylamide.....	94

LIST OF FIGURES

FIGURE	PAGE
2.1 Monomer distribution and segmental disposition of water soluble copolymers.....	6
2.2 Functional groups imparting water solubility.....	6
2.3 Structural dependence upon molecular shapes of water soluble copolymers in aqueous media.....	7
2.4 Rheological characteristics of water soluble polymers.....	9
2.5 Square-root dependence of the rate of free radical polymerization on benzoyl peroxide concentration.....	28
2.6 First-order dependence of the rate of free radical polymerization on methyl methacrylate concentration.....	28
2.7 Dependence of the polymerization rate and polymer molecular weight on polymerization temperature for the thermal self-initiated polymerization of styrene.....	30
2.8 Autoacceleration in the benzoyl peroxide initiated polymerization of methyl methacrylate in benzene at 50° C.....	31

FIGURE	PAGE
4.1 IR spectrum of starch-g-polyacrylamide.....	57
4.2 IR spectrum of water soluble starch.....	61
4.3 IR spectrum of degradative starch.....	61
4.4 DSC thermogram of water soluble starch.....	62
4.5 DSC thermogram of degradative starch.....	62
4.6 TGA thermogram of water soluble starch.....	63
4.7 TGA thermogram of degradative starch.....	63
4.8 IR spectrum of polyacrylamide.....	67
4.9 DSC thermogram (scanning mode)of the foamed polymerization of acrylamide	71
4.10 DSC thermogram of the isothermal foamed polymerization of acrylamide at 70° C.....	72
4.11 The plot of percentage of monomer conversion vs. time in acrylamide polymerization in the foamed system at 70°C	72
4.12 DSC thermograms of the isothermal foamed polymerization of acrylamide at 70°C with variation of [AM].....	74
4.13 The plot of percentage of monomer conversion vs. time of acrylamide polymerization in the foamed system at 70°C with variation of [AM].....	76
4.14 Log-log plot of R_p vs. [AM] of acrylamide	

FIGURE	PAGE
polymerization in the foamed system at 70°C.....	76
4.15 DSC thermograms of the isothermal foamed polymerization of acrylamide at 70°C with variation of $[K_2S_2O_8]$	81
4.16 The plot of percentage of monomer conversion vs. time of acrylamide polymerization in the foamed system at 70°C with variation of $[K_2S_2O_8]$	82
4.17 Log-log plot of R_p vs. $[K_2S_2O_8]$ of acrylamide polymerization in the foamed system at 70°C.....	83
4.18 DSC thermograms of the isothermal foamed polymerization of acrylamide with variation of temperature of polymerization.....	87
4.19 The plot of percentage of monomer conversion vs.time of acrylamide polymerization in the foamed system with variation of polymerization temperature	88
4.20 The Arrhenius plot of $\log R_p$ vs. $1/T$ for acrylamide polymerization in the foamed system.....	88
4.21 Temperature profile for the non-isothermal foamed polymerization of acrylamide.....	90
4.22 Conversion profile for the non-isothermal foamed polymerization of acrylamide.....	91
4.23 Temperature and conversion profiles for the non-	

FIGURE	PAGE
isothermal foamed polymerization of acrylamide with variation of reaction scales.....	95
4.24 Temperature and conversion profiles for the non- isothermal foamed polymerization of acrylamide with variation of surface area/volume ratios of ampoule reactor.....	96
4.25 Temperature and conversion profiles for the non- isothermal foamed polymerization of acrylamide with variation of reaction mass	97

สถาบันวิทยบริการ
จุฬาลงกรณ์มหาวิทยาลัย

NOMENCLATURE

η	: The intrinsic viscosity
R^{\cdot}	: The primary radical
M_1^{\cdot}	: The propagating radical containing one monomer molecule
M_n^{\cdot}	: The propagating radical containing n monomer molecules
$S_2O_8^{2-}$: The persulphate anion
$SO_4^{\cdot-}$: The radical of sulphate anion
HSO_4^-	: The hydrogen sulphate anion
$^{\cdot}OH$: The hydroxy radical
SOH	: Starch backbone
SO^{\cdot}	: Starch macroradical
k_d	: The rate constant for the initiator dissociation reaction
k_i	: The rate constant for the initiation reaction
k_p	: The rate constant for the propagation reaction
k_c	: The rate constant for the termination by combination reaction
k_{cd}	: The rate constant for the termination by disproportionation reaction
k_{tr}	: The rate constant for chain-transfer reaction
k_a	: The rate constant for the association reaction of acrylamide and the radical of sulphate anion
k_H	: The rate constant for the reaction between the radical of sulphate anion and water
R_i	: The rate of the initiation reaction
R_p	: The rate of the polymerization or of the propagation reaction
R_t	: The rate of the termination reaction
[M]	: The monomer concentration

- [I] : The initiator concentration
- [M^{*}] : The total concentration of all of growing radicals
- (SO₄²⁻O₄S) : The sulphate radicals in the compact cage
- {SO₄²⁻O₄S} : The sulphate radicals in the diffused cage
- {SO₄²⁻O₄S}_M : The complex association between the monomer and the radical of sulphate anion
- P : The dead ended polymer
- f : The initiator efficiency
- A : The collision frequency factor
- E_a : The activation energy
- K : The overall rate constant
- R : The gas constant
- AM : Acrylamide
- S-g-PA : Starch graft polyacrylamide
- WSS : Water soluble starch
- NaEDTA : Sodium ethylenediamine tetraacetate
- Na₂CO₃ : Sodium carbonate
- K₂S₂O₈ : Potassium persulphate
- CH₃COOH : Acetic acid
- HNO₃ : Nitric acid
- H₂O : Water
- FT-IR : Fourier transform Infra-red spectroscopy
- DSC : Differential scanning calorimeter
- TGA : Thermogravimetric analyzer
- C : The percentage of acrylamide conversion at a given time
- α : The percentage of acrylamide conversion at a given time in the isothermal exotherm
- ΔH_i : The total isothermal exotherm

ΔH_s	: The total scanning exotherm
T_m	: The maximum temperature of non-isothermal foamed polymerization system
T_b	: The water bath temperature
o.d.	: Outer diameter
g.	: Gram
mol/L	: Mole per litre
M	: Molar or mole per litre
ml.	: Millilitre
cm. ³	: Cubic centimetres
cm.	: Centimetre
mol/L-s	: Mole per litre per second
mol/Lx10 ³	: 10 ⁻³ times mol/L
mol/L-s x10 ³	: 10 ⁻³ times mol/L-s
L/mol-s	: Litre per mole per second
sec	: Second
min	: Minute
rpm	: Round per minute
%	: Percent
J/g	: Joule per gram
mol/kg	: Mole per kilogram
mmol/kg	: Millimole per kilogram
kcal/mol	: Kilocalory per mole
kJ/mol	: Kilojoule per mole
kcal/deg.mol	: Kilocalory per degree per mole
ppm.	: Part per million
°C	: Degree in Celsius
K	: Degree in Kelvin
vs.	: Versus
Us. Pat.	: United States of American Patent
Eur. Pat.	: European Patent